



AB 1571



SOLDI Sp. z o.o.
ul. Bieżanowska 22
30-812 Kraków

Sprawozdanie nr 060/2024/OS/05

Sprawozdanie z badania natężenia pól elektromagnetycznych
wykonanych w środowisku

Miejsce wykonania badania:

(dane uzyskane od klienta)

MIE3313_A

39-300 Rzędzianowice,
dz. nr 216/3, pow. mielecki,
woj. podkarpackie

Data zakończenia badania:

16.02.2024 r.

Klient:

P4 Sp. z o.o.
ul. Wynalazek 1
02-677 Warszawa

Autoryzacja / wydanie sprawozdania:

SOLDI

specjalista ds. Oceny
Środowiska

Bez pisemnej zgody laboratorium, sprawozdanie nie może być powielane inaczej, jak tylko w całości.

1. Podstawa prawna

Badania wykonano zgodnie z obecnie występującymi aktami prawnymi:

- Ustawa z dnia 27 kwietnia 2001 r. Prawo ochrony środowiska (Dz. U. 2022 poz. 2556 z zm.),
- Rozporządzenie Ministra Zdrowia z dnia 17 grudnia 2019 r. w sprawie dopuszczalnych poziomów pól elektromagnetycznych w środowisku (Dz. U. 2019 poz. 2448),
- Rozporządzenie Ministra Klimatu z dnia 17 lutego 2020 r. w sprawie sposobów sprawdzania dotrzymania dopuszczalnych poziomów pól elektromagnetycznych w środowisku (Dz. U. 2022 poz. 2630).

2. Aparatura pomiarowa

Podczas badań użyto następującej aparatury pomiarowej:

Tabela nr 1

Miernik szerokopasmowy	Sondy	Zakres częstotliwościowy	Zakres pomiarowy*	Świadectwo wzorcowania
Narda NBM-520 Nr D-1583	EF-0392 nr E-0004	0,1 – 3 600 MHz	0,5 – 800 V/m	LWiMP/W/295/23; data wydania: 26.07.2023
Narda NBM-520 Nr D-1583	EF-6091 nr 01164	80 – 90 000 MHz	0,5 – 300 V/m	LWiMP/W/295/23; data wydania: 26.07.2023

*Do wyznaczenia poprawnej wartości natężenia pola elektromagnetycznego uwzględniono współczynniki korekcyjne z właściwego świadectwa wzorcowania.

Aparaturę pomiarową charakteryzują następujące wartości niepewności pomiaru obliczone i przedstawiona zgodnie z dokumentem PN-EN 50413. Podane wartości niepewności stanowią niepewności rozszerzone dla poziomu ufności 95% i współczynnika rozszerzenia $k=2$.

Procedury wdrożone w laboratorium pozwalają zapewnić odporność elektromagnetyczną miernika.

Niepewność pomiarowa wyznaczona dla zainstalowanych i skonfigurowanych obiektów – źródeł pól, jak w dniu pomiaru wynosi 39%.

Dodatkowa aparatura pomiarowa:

- Kompas (busola) [UP/10/Sw]
- Cyfrowy miernik wilgotności względnej i temperatury powietrza AZ8703 nr fab. S/N:10047614 [UP/11/Sw] (Świadectwo wzorcowania: 0367/AH/15; data wydania: 17.03.2015)
- Taśma miernicza geodezyjna 50 m [UP/12/Sw] (Świadectwo wzorcowania: 1429.01-M11-4180-515/15; data wydania: 27.04.2015)
- Odbiornik GPS HUAWEI P20 Pro [UP/21/Sw]

3. Opis badania

Badanie przeprowadziło Laboratorium Badawcze Soldi na podstawie zlecenia firmy P4 Sp. z o.o.

Badanie wykonano zgodnie z:

Załącznikiem do rozporządzenia Ministra Klimatu z dnia 17 lutego 2020 r. w sprawie sposobów sprawdzania dotrzymania dopuszczalnych poziomów pól elektromagnetycznych w środowisku (Dz. U. 2022 poz. 2630).

Badania promieniowania elektromagnetycznego, którego źródłem są urządzenia wyszczególnione w punkcie 4 sprawozdania przeprowadzono w pionach pomiarowych na kierunkach zbliżonych do azymutów badanej instalacji, w szczególności w tych miejscach, w których na podstawie uprzednio przeprowadzonych obliczeń, stwierdzono występowanie w danych zakresach częstotliwości pól-EM o poziomach zbliżonych do poziomów dopuszczalnych oraz do odległości, dla której stwierdzono w miejscach dostępnych dla ludności występowanie pól elektromagnetycznych o najwyższym poziomie, które pochodzą z badanej instalacji. Badania pól elektromagnetycznych przeprowadzono w pionach pomiarowych wzdłuż głównych kierunków pomiarowych, dodatkowych pionach oraz w miejscach dostępnych dla ludności w otoczeniu instalacji. W przyjętych pionach pomiarowych pomiary wykonano na wysokościach od 0,3 m do 2,0 m nad powierzchnią terenu albo nad innymi miejscami dostępnymi dla ludności. W pobliżu urządzeń, obiektów i elementów metalowych pomiary wykonano w odległości nie mniejszej niż 0,3 m od tych urządzeń, obiektów i elementów metalowych.

Przy sprawdzeniu dotrzymania dopuszczalnych poziomów pól elektromagnetycznych w środowisku nie uwzględnia się poprawek pomiarowych ze względu, na fakt iż pomiary wykonywane są przy użyciu miernika szerokopasmowego.

4. Informacje przekazane przez klienta

Tabela nr 2 – Opis obiektu, w otoczeniu którego wykonano badania oraz określenie terenu wokół stacji

Tabela nr 2a – Szczegółowe dane źródła pól dla anten mikrofalowych

Tabela nr 2b – Szczegółowe dane źródła pól dla anten sektorowych

Tabela nr 2

Opis obiektu, w otoczeniu którego wykonano pomiary	
Rodzaj konstrukcji wsporczej:	Stalowa wieża kratowa
Wysokość wieży:	55,95 m n.p.t.
Rodzaj terenu wokół stacji bazowej:	Stacja bazowa zlokalizowana jest na terenie wiejskim, w najbliższym otoczeniu stacji znajdują się tereny rolne oraz zabudowa mieszkaniowa.

Tabela nr 2a

Charakterystyka promieniowania				kierunkowa					
Rzeczywisty czas pracy [h/dobę]				24					
Rodzaj wytwarzanego pola				stacjonarne					
Linia radiowa				Antena					
Lp.	Typ nadajnika	Częstotliwość pracy [GHz]	Moc wyjściowa [dBm]	Typ / producent	Średnica anteny [m]	Azymut [°]	Wysokość zainstal. [m]	LON	LAT
1	OPTIX RTN/HUAWEI	32	23	0.3-32 (VHLPX1-32)	0,3	285	51	21 °23'29.86"E	50 °20'08.42"N

Tabela nr 2b

Charakterystyka promieniowania				kierunkowa					
Rzeczywisty czas pracy [h/dobę]				Całodobowa 24h					
Warunki pracy				Znamionowe					
Rodzaj wytwarzanego pola				stacjonarne					
Lp.	Typ nadajnika	Antena Producent / Typ	Azymut [°]	Wysokość środka elektr. anteny [m n.p.t.]	Pasmo [Mhz]	Kąt nachylenia [°]	EIRP dla anteny [W]	LON	LAT
1	RBS6xxx/2xxx/4xxx	Huawei ADU4518R7	30	53	800	0 - 12	10429	21°23'29.86"E	50°20'08.42"N
	1800				2 - 12	21°23'29.86"E		50°20'08.42"N	
	2100				2 - 12	21°23'29.86"E		50°20'08.42"N	
2	RBS6xxx/2xxx/4xxx	Huawei ADU4518R7	30	53	800	0 - 12	11125	21°23'29.86"E	50°20'08.42"N
	1800				2 - 12	21°23'29.86"E		50°20'08.42"N	
	2100				2 - 12	21°23'29.86"E		50°20'08.42"N	
3	RBS6xxx/2xxx/4xxx	Huawei A704516R0	30	53	900	0 - 12	1585	21°23'29.86"E	50°20'08.42"N
4	RBS6xxx/2xxx/4xxx	Huawei ADU4518R7	150	53	800	0 - 12	10429	21°23'29.86"E	50°20'08.42"N
	1800				2 - 12	21°23'29.86"E		50°20'08.42"N	
	2100				2 - 12	21°23'29.86"E		50°20'08.42"N	
5	RBS6xxx/2xxx/4xxx	Huawei ADU4518R7	150	53	800	0 - 12	11125	21°23'29.86"E	50°20'08.42"N
	1800				2 - 12	21°23'29.86"E		50°20'08.42"N	
	2100				2 - 12	21°23'29.86"E		50°20'08.42"N	
6	RBS6xxx/2xxx/4xxx	Huawei A704516R0	150	53	900	0 - 12	1585	21°23'29.86"E	50°20'08.42"N
7	RBS6xxx/2xxx/4xxx	Huawei ADU4518R7	270	53	800	0 - 12	10429	21°23'29.86"E	50°20'08.42"N
	1800				2 - 12	21°23'29.86"E		50°20'08.42"N	
	2100				2 - 12	21°23'29.86"E		50°20'08.42"N	
8	RBS6xxx/2xxx/4xxx	Huawei ADU4518R7	270	53	800	0 - 12	11125	21°23'29.86"E	50°20'08.42"N
	1800				2 - 12	21°23'29.86"E		50°20'08.42"N	
	2100				2 - 12	21°23'29.86"E		50°20'08.42"N	
9	RBS6xxx/2xxx/4xxx	Huawei A704516R0	270	53	900	0 - 12	1585	21°23'29.86"E	50°20'08.42"N

W załączonej tabeli podano maksymalne parametry pracy tej instalacji deklarowane przez prowadzącego instalację. Podczas pomiarów urządzenia użytkownika pracowały przy aktualnie występującym obciążeniu. Anteny o sterowanych wiązkach zostały ustawione w sposób umożliwiający spełnienie wymagań pkt 13 ppkt 2 RMK.

Jako dopuszczalne poziomy gęstości pola elektromagnetycznego przyjmuje się wartość 2 W/m², co odpowiada natężeniu składowej elektrycznej pola elektromagnetycznego o wartości 28 V/m – tj. minimalnej wartości dopuszczalnej dla zakresu częstotliwości od 10 MHz do 300 GHz, dzięki czemu zostaje uwzględniona obecność innych instalacji emitujących pole – EM w sąsiedztwie.

5. Wyniki badań i szkic sytuacyjny

Tabela nr 3

Data wykonania pomiarów	Godzina		Opady	Temperatura [°C]		Wilgotność [%]	
	Rozpoczęcia pomiarów	Zakończenia pomiarów		Minimalna	Maksymalna	Minimalna	Maksymalna
09.02.2024	15:20	16:40	Brak	4,3	5,3	66	70

Temperatura i wilgotność względna nie wyższa niż dopuszczalna specyfikacja miernika.

Tabela nr 4

Nr pionu / punktu	Lokalizacja pionu / punktu pomiarowego			Wysokość pomiaru [m]	Wartość zmierzona [V/m]	Wynik badania pola-E ¹⁾ [V/m]	Wskaźnik poziomu emisji WM _E	Wartość wyznaczona pola-H [A/m]	Wskaźnik poziomu emisji WM _H
	LAT	LON	Opis						
1	2	3	4	5	6	7	8	9	10
1	50.33583	21.39178	GKP; poziom terenu wokół stacji bazowej	2,0	0,8	1,1	0,04	0,003	0,04
2	50.33591	21.39183	GKP; poziom terenu wokół stacji bazowej	2,0	0,8	1,1	0,04	0,003	0,04
3	50.33625	21.39217	GKP; poziom terenu wokół stacji bazowej	2,0	1,1	1,5	0,05	0,004	0,06
4	50.33661	21.39247	GKP; poziom terenu wokół stacji bazowej	2,0	1,1	1,5	0,05	0,004	0,06
5	50.33844	21.39414	GKP; poziom terenu wokół stacji bazowej - 357m od obiektu, na az.30°	2,0	0,5	0,7	0,02	0,002	0,03
6	50.33565	21.39171	GKP; poziom terenu wokół stacji bazowej	2,0	0,7	1,0	0,03	0,003	0,04
7	50.33558	21.39203	GKP; poziom terenu wokół stacji bazowej	2,0	0,8	1,1	0,04	0,003	0,04
8	50.33558	21.39167	GKP; poziom terenu wokół stacji bazowej	2,0	0,7	1,0	0,03	0,003	0,04
9	50.33544	21.39183	GKP; poziom terenu wokół stacji bazowej	2,0	0,7	1,0	0,03	0,003	0,04
10	50.33512	21.39210	GKP; poziom terenu wokół stacji bazowej	2,0	0,8	1,1	0,04	0,003	0,04
11	50.33475	21.39247	GKP; poziom terenu wokół stacji bazowej	2,0	1,0	1,4	0,05	0,004	0,05
12	50.33289	21.39414	GKP; poziom terenu wokół stacji bazowej - 357m od obiektu, na az.150°	2,0	0,6	0,8	0,03	0,002	0,03
13	50.33567	21.39133	GKP; poziom terenu wokół stacji bazowej	2,0	0,6	0,8	0,03	0,002	0,03
14	50.33567	21.39122	GKP; poziom terenu wokół stacji bazowej	2,0	0,6	0,8	0,03	0,002	0,03
15	50.33567	21.39058	GKP; poziom terenu wokół stacji bazowej	2,0	0,8	1,1	0,04	0,003	0,04
16	50.33567	21.38994	GKP; poziom terenu wokół stacji bazowej	2,0	1,0	1,4	0,05	0,004	0,05
17	50.33567	21.38661	GKP; poziom terenu wokół stacji bazowej - 357m od obiektu, na az.270°	2,0	0,7	1,0	0,03	0,003	0,04
18	50.33575	21.39117	GKP; poziom terenu wokół stacji bazowej	2,0	0,8	1,1	0,04	0,003	0,04
19	50.33583	21.39072	GKP; poziom terenu wokół stacji bazowej	2,0	1,0	1,4	0,05	0,004	0,05
20	50.33591	21.39028	GKP; poziom terenu wokół stacji bazowej	2,0	1,1	1,5	0,05	0,004	0,06
21	50.33583	21.39147	GKP; poziom terenu wokół stacji bazowej	2,0	0,8	1,1	0,04	0,003	0,04

^{*)} Za wynik badania przyjmuje się wartość wyznaczoną jako maksymalny chwilowy wynik pomiarów powiększony o rozszerzoną niepewność pomiaru U dla współczynnika rozszerzenia k=2.

Objaśnienia:

GKP – Główny Kierunek Pomiarowy

Tabela nr 4 cd.

Nr pionu / punktu	Lokalizacja pionu / punktu pomiarowego			Wysokość pomiaru [m]	Wartość zmierzona [V/m]	Wynik badania pola-E ^{*)} [V/m]	Wskaźnik poziomu emisji WM _E	Wartość wyznaczona pola-H [A/m]	Wskaźnik poziomu emisji WM _H
	LAT	LON	Opis						
1	2	3	4	5	6	7	8	9	10
22	50.33589	21.39142	GKP; poziom terenu wokół stacji bazowej	2,0	0,8	1,1	0,04	0,003	0,04
23	50.33625	21.39108	GKP; poziom terenu wokół stacji bazowej	2,0	0,7	1,0	0,03	0,003	0,04
24	50.33658	21.39078	GKP; poziom terenu wokół stacji bazowej	2,0	0,8	1,1	0,04	0,003	0,04
A	50.33538	21.39244	DPP; wejście do budynku przy ul. Rzędzianowice 321	2,0	1,0	1,4	0,05	0,004	0,05
B	50.33499	21.39234	DPP; światło okna budynku na dz. nr 216/4 (parter)	2,0	0,8	1,1	0,04	0,003	0,04

^{*)} Za wynik badania przyjmuje się wartość wyznaczoną jako maksymalny chwilowy wynik pomiarów powiększony o rozszerzoną niepewność pomiaru U dla współczynnika rozszerzenia k=2.

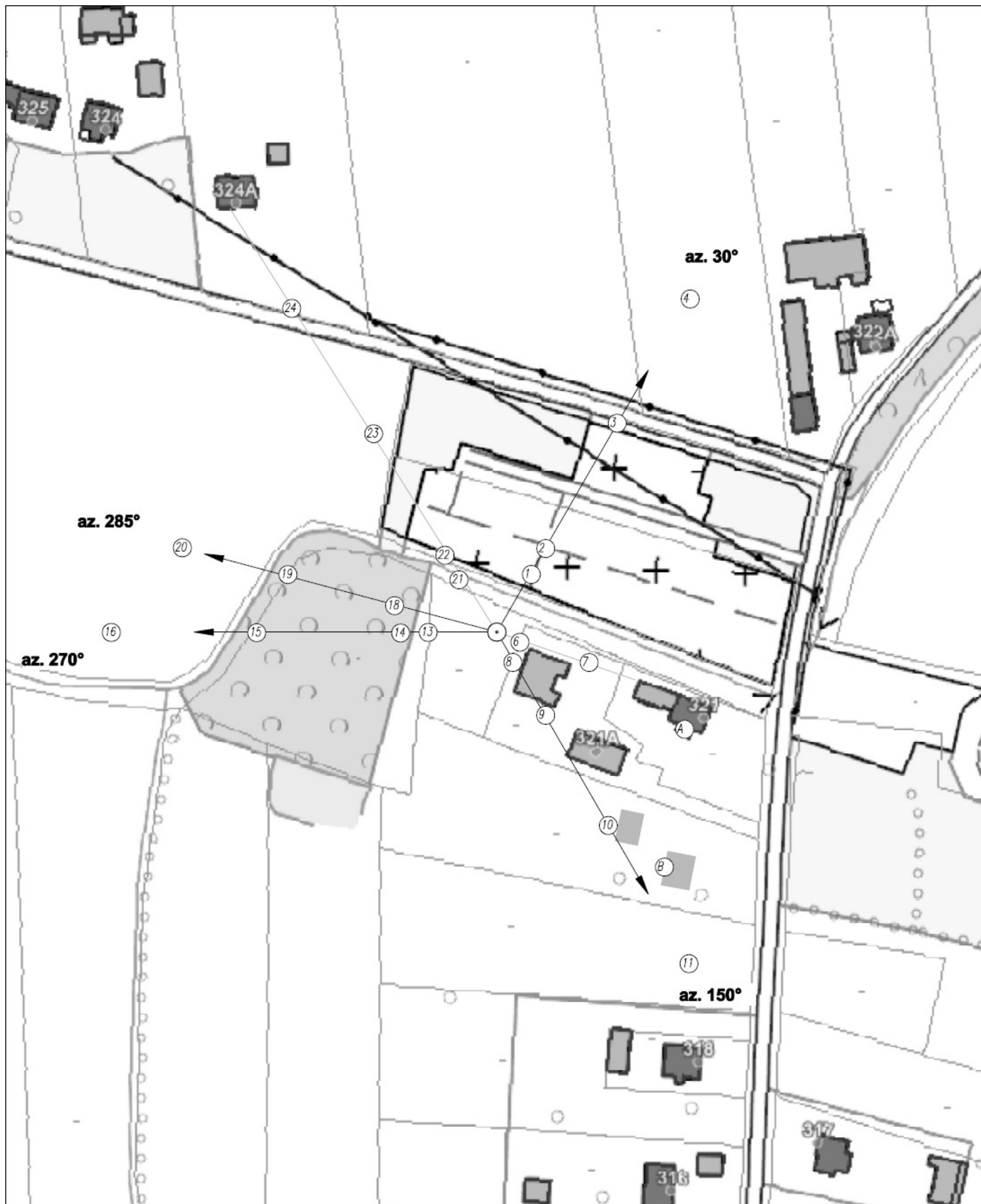
Objaśnienia:

GKP – Główny Kierunek Pomiarowy
DPP – Dodatkowy Pion Pomiarowy

Wyniki pomiarów odnoszą się wyłącznie do przedstawionych w sprawozdaniu punktów / pionów pomiarowych.

Dane podane przez klienta wpływają na ważność wyników.

W obszarze pomiarowym nie stwierdzono obecności instalacji urządzeń obcych operatorów.



UWAGA: Nie wszystkie punkty / piony pomiarowe zostały wskazane na powyższej mapie

LEGENDA:

- ⊙ (Nr) – Punkty (piony) pomiarowe
- ⊙ – Lokalizacja źródła pola-EM



Użytkownik: P4 Sp. z o.o. 02-677 Warszawa, ul. Wyzalek 1	Nr stacji: MIE3313_A	Skala: 1:1500
Nazwa rysunku: Rozmieszczenie pionów pomiarowych Nr sprawozdania: 060/2024/OS/05		Nr rysunku: 01
LABORATORIUM BADAWCZE SOLDI ul. Bieżanowska 22, 30-812 Kraków		
Opracował: Laboratorium Badawcze Soldi		

6. Podsumowanie wyników badania

Minimalne dopuszczalne poziomy elektromagnetycznego promieniowania niejonizującego charakteryzowane przez wartości graniczne wielkości fizycznych dla miejsc dostępnych dla ludności, uwzględniające wszystkie źródła promieniowania mogące występować w obszarze pomiarowym, w zakresie pomiarowym zestawu pomiarowego, opisanego w punkcie 2 niniejszego sprawozdania, zgodnie z rozporządzeniem Ministra Zdrowia z dnia 17 grudnia 2019 r. w sprawie dopuszczalnych poziomów pól elektromagnetycznych w środowisku (Dz. U. 2019 poz. 2448), które zostały przyjęte do obliczeń wskaźników WM_E i WM_H wynoszą odpowiednio:

Tabela nr 5

Zakres częstotliwości	Natężenie pola - E	Natężenie pola - H
10 MHz – 300 GHz	28 V/m	0,073 A/m

Przeprowadzone badania zostały wykonane przy użyciu miernika szerokopasmowego i nie wykazały przekroczenia 70% ww. wartości dopuszczalnych. W wyniku przeprowadzonego badania potwierdzono także, że otrzymane wartości wskaźnikowe dla wszystkich punktów / pionów pomiarowych badanej instalacji radiokomunikacyjnej, nie przekroczyły wartości 1. Zatem poziomy pól elektromagnetycznych w badanych punktach są dopuszczalne.

Stwierdzenie zgodności zostało przedstawione na podstawie wyników badań oraz informacji uzyskanych od klienta (za które Laboratorium nie ponosi odpowiedzialności) dla instalacji opisanej w punkcie 4.

Stwierdzenia zgodności dokonano na podstawie zasady podejmowania decyzji i wymagań zawartych w załączniku do rozporządzenia Ministra Klimatu z dnia 17 lutego 2020 r. w sprawie sposobów sprawdzania dotrzymania dopuszczalnych poziomów pól elektromagnetycznych w środowisku (Dz. U. 2022 poz. 2630).

Tabela nr 6

Badanie wykonał:	Sprawozdanie sporządził:	Sprawdził:
		16.02.2024 r. W

KONIEC SPRAWOZDANIA